

## طريقة جديدة لتسريع بناء الفهرس المكاني R-Tree باستخدام الواصلات النصية للمكان

علاء الدين فريد زين<sup>1\*</sup> صلاح الدوه جي<sup>2</sup> محمد إياد الخياط<sup>3</sup>

<sup>1\*</sup> طالب دكتوراه في كلية الهندسة المعلوماتية- جامعة دمشق.

<sup>2</sup>. أستاذ مساعد في كلية الهندسة المعلوماتية- جامعة دمشق.

<sup>3</sup>. مدرس في كلية الهندسة المعلوماتية- جامعة دمشق.

### الملخص:

تمثل الفهارس المكانية جزءاً أساسياً في بناء نظم معالجة البيانات المكانية التقليدية، والبيانات المكانية الكبيرة، لأنها -على خلاف طرق التجزئة التقليدية- تستخدم الواصلات ذات الطبيعة الجغرافية كأساس لعملية تجزئة البيانات. إن طريقة الفهرسة المكانية باستخدام بنية المعطيات R-Tree هي أحد الطرق الأساسية المعتمدة في تجزئة البيانات المكانية والتي تعتمد على إضافة معرف الكائن مع مستطيل الحدود الأصغرى الخاص به في كل عقدة من أوراق بنية شجرية متعددة المستويات.

يسمح وجود كلمات مفتاحية ذات صيغة نصية واصفة للمكان في مجموعة البيانات المكانية، باستخدام خدمات ويب مثل خدمة المعجم الجغرافي G-WFS، للتغلب على بعض العيوب التي تعاني منها طرق التجزئة باستخدام الفهرس المكاني عند معالجة المضلعات المكونة من أعداد كبيرة من النقاط. يقترح هذا البحث خوارزمية جديدة لتقليل زمن حساب مستطيل الحدود الأصغرى، والذي يشكل عاملًا أساسياً في تنفيذ خوارزميات الفهرسة المكانية والتقسيم المكانى، من خلال الاستفادة من الواصلة النصية للمكان في الحصول على مستطيل الحدود الأصغرى باستخدام خدمة المعجم الجغرافي. برهنت النتائج العملية قدرة هذا الخوارزمية الجديدة على تقليل الزمن اللازم لبناء الفهرس المكاني R-Tree بشكل واضح عند زيادة عدد النقاط المكونة لمضلعات مجموعة البيانات المكانية عن عتبة قرار مرننة يتم حسابها في مرحلة تهيئة الخوارزمية للعمل.

**الكلمات المفتاحية:** الفهرس المكاني R-Tree، خدمة المعجم الجغرافي، مستطيل الحدود الأصغرى، البيانات المكانية الكبيرة.

تاريخ الایداع: 5/11/2022  
تاريخ القبول: 13/3/2023



حقوق النشر: جامعة دمشق -  
سوريا، يحتفظ المؤلفون بحقوق  
النشر بموجب CC BY-NC-SA

## Novel method for faster construction of R-Tree spatial index using text-based spatial attributes

Alaa Aldin Fared Zein<sup>\*1</sup> Salah Dowaji<sup>2</sup> Mohamad Iyad Al-Khayatt<sup>3</sup>

<sup>\*1</sup>. PhD Candidate, Faculty of Information Technology Engineering – Damascus University. . [adzein@gmail.com](mailto:adzein@gmail.com)

<sup>2</sup>. Associate Professor, Faculty of Information Technology Engineering – Damascus University. [sdowaji@gmail.com](mailto:sdowaji@gmail.com)

<sup>3</sup>. Assistant Professor, Faculty of Information Technology Engineering – Damascus University. [iyad.khayat@gmail.com](mailto:iyad.khayat@gmail.com)

### Abstract:

Spatial indexing is a key component of both traditional and big spatial data processing systems because unlike the traditional partitioning methods, they use spatial attributes of objects as a basis for partitioning the data. R-Tree based spatial indexing is one the most used methods of partitioning spatial data. R-Tree is a multi-level tree that uses tuples of identifiers and geographic bounding rectangles as nodes.

Spatial keywords or text-based spatial attributes stored in a spatial data set, allow the use of WFS-G web "Gazetteer" service to overcome some of the shortcomings of spatial indexing, when processing polygons that consists of a very large number of vertices. The new proposed algorithm reduces the time for building minimum bounding rectangles MBRs which is a main factor in creating spatial indexes and spatial partitioning, by using the spatial keywords to obtain minimum bounding rectangles via web "Gazetteer" service. The obtained results prove the capability of the algorithm in reducing R-Tree construction time when the number of vertices of polygons of the data set is above a flexible decision threshold calculated during the initialization phase of the algorithm.

**Keywords:** R-Tree spatial index, Web Gazetteer service, Minimum Bounding Rectangle, Big Spatial Data

Received: 5/11/2022

Accepted: 13/3/2023



**Copyright:** Damascus University- Syria, The authors retain the copyright under a CC BY- NC-SA

R-Tree ومكتبة PYGEOS Geopandas لفهرسة مجموعات البيانات المكانية. يتتألف الكائن المضلع من مجموعة من النقاط المتصلة لتكوين فراغ هندسي مغلق، حيث تسمى النقاط بالعقد Vertices والخطوط المستقيمة التي تصل فيما بينها بالأضلاع Edges. يقدم هذا البحث طريقة جديدة لتسريع بناء الفهرس المكاني من النوع R-Tree عند التعامل مع مجموعة بيانات مكونة من كائنات من النمط الهندسي المضلع عالي التعقيد (المكون من عدد كبير جداً من النقاط أو العقد Vertices)، من خلال استخدام الوصفات النصية المكانية Spatial Textual Attributes والتي تعرف أيضاً باسم الكلمات المفتاحية المكانية Spatial Keywords، Spatial MBR Minimum Bounding Rectangle والذي يمثل جزءاً جوهرياً من بنية المعطيات R-Tree.

يتضمن هذا البحث تعريفاً بالفهرس المكاني R-Tree وبخدمة المعجم الجغرافي Gazetteer المستخدمة لتحويل الوصفات النصية المكانية إلى إحداثيات جغرافية، ثم عرض لتصميم الخوارزمية الجديدة بشكل وصفي وبيانى وبرمجى، ثم إجراء اختبارات للبرهان على جدوى هذه الخوارزمية الجديدة في تسريع بناء الفهرس المكاني R-Tree.

## 1. الفهرس المكاني :R-Tree

البنية R-tree [Gutmann 1984] هي بنية معطيات من النوع شجرة Tree، هذه الشجرة من النوع المتوازن الطول وتحتوي في أوراقها مؤشرات إلى كائنات البيانات، وفي عقدها صفحات من الذاكرة. يسمح استخدام الفهرس R-Tree بتنفيذ الاستعلامات المكانية من خلال زيارة عدد قليل من العقد، وفق بنية ديناميكية تسمح بالإدخال

## المقدمة:

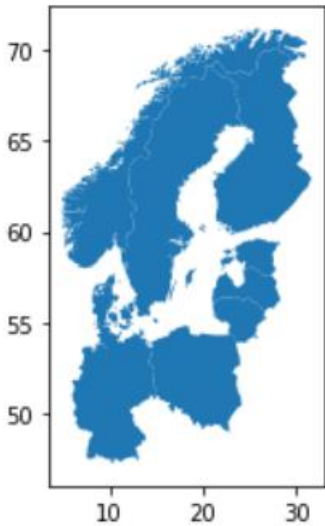
تتطلب معالجة البيانات المكانية وتنفيذ الاستعلامات عليها بناء فهارس خاصة تأخذ الموقع الجغرافي بعين الاعتبار، تسمى هذه الفهارس بالفهارس المكانية Spatial Index بما أن توليد البيانات المكانية يتم بسرعة كبيرة ومن قبل مصادر متعددة وصيغ مختلفة وحجوم كبيرة. حيث أن العمليات على البيانات المكانية تتطلب خوارزميات ذات تعقيد حسابي عالي. تم التفكير باستخدام الحلول المعلوماتية الخاصة بمعالجة البيانات الكبيرة Big Data في معالجة البيانات المكانية [Li et al.2015]، حيث تعتمد هذه النظم على طرق محسنة لبناء الفهرس المكاني بشكل سريع والاعتماد على هذا الفهرس في تجزئة البيانات المكانية إلى أجزاء تتم معالجتها بشكل تفرعي.

تم تطوير مجموعة من إطار العمل المخصصة للتعامل مع البيانات المكانية الكبيرة من خلال تعديل بنية نظام معالجة MapReduce ومن الأمثلة على ذلك Aji et al. 2013 [Eldawy, Mokbel Spatial Hadoop 2013] . كما تم تطوير نظم مبنية على إطار عمل معالجة البيانات الكبيرة Apache Spark مثل Yu, Wu, Sarwat 2015 [Yu, GeoSpark 2015] . وكذلك تم تطوير نظم مبنية على نموذج MPI (Message Passing Interface) مثل Puri 2019 [Puri 2019] SpatialMPI . وقد تم البرهان على جدوى الحلول السابقة في تحقيق تسريع للأداء عند معالجة البيانات المكانية الكبيرة بالمقارنة مع النظم التقليدية.

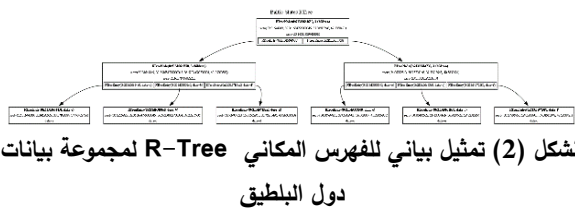
تشترك هذه النظم المختلفة في اعتمادها على فهارس مكانية مختلفة وبشكل أساسى الفهرس المكانى من النوع R-Tree في بناء آلية الفهرسة والتجزئة للبيانات المكانية. كما تستخدم أيضاً نظم معالجة البيانات المكانية التقليدية مثل PostgreSQL و Oracle و Spatial SQL+PostGIS و GIS

زين، الدوه جي و الخياط

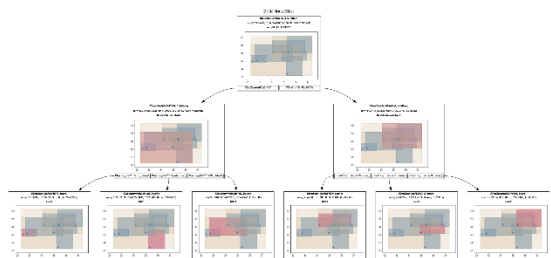
والشكل (3) الفهرس المكاني الموافق لها ممثلاً بطريقة جغرافية.



الشكل (1) مجموعة بيانات مكانية تمثل دول البلطيق



الشكل (2) تمثيل بياني للفهرس المكاني R-Tree لمجموعة بيانات دول البلطيق



الشكل (3) تمثيل جغرافي للفهرس المكاني R-Tree لمجموعة بيانات دول البلطيق

عند دراسة طريقة بناء الفهرس نجد أنها مكونة من ثلاثة خطوات أساسية:

- تهيئة بنية المعطيات من خلال بaramترات التهيئة  
(مثال: عدد الأوراق الأعظمي في العقدة)

طريقة جديدة لتسريع بناء الفهرس المكاني R-Tree والحدف والبحث بدون إعادة تنظيم للشجرة. إن نموذج تعقيد عملية البحث ضمن الشجرة هو نموذج لوغاريتمي.

تألف قاعدة البيانات المكانية من مجموعة من الصفوف المرتبة Tuples التي تمثل الكائن المكاني، ويكون لكل صفت معرف فريد، وفي كل عقدة ورقة من الشجرة يكون هناك زوج مكون من فهرس ومعرف فريد، والفهرس هو مصفوفة رباعية القيم تمثل حدود الكائن المكاني (مستطيل الحدود الأصغر MBR Minimum Bounding Rectangle)، وفي كل عقدة من المستوى الأعلى من الشجرة يكون هناك أزواج مكونة من فهرس ومؤشر إلى العقدة الولد بحيث يمثل الفهرس مستطيل الحدود الأصغر للمنطقة التي تغطيها فهارس المستوى الأدنى من الشجرة [Yzelman 2007].

وبالتالي تعتمد فكرة الفهرسة باستخدام R-tree على تخزين مستطيل الحدود الأصغر لكل كائن في المستوى الأدنى من الشجرة (الأوراق) وثم حساب مستطيل الحدود الأصغر لمجموعة العقد الأبناء لكل عقدة في كل مستوى من الشجرة، وبالتالي يتطلب التنفيذ العملي لهذا الفهرس عملية بناء للشجرة من خلال قراءة كافة الكائنات الموجودة في مجموعة البيانات وحساب مستطيل الحدود الأصغر لكل كائن ثم Bulk Loading جميع الكائنات في الذاكرة لبناء الشجرة [Zhou, Zhong, Huang 2008].

لقد أثبتت الاختبارات أن طريقة التجزئة باستخدام الفهرس المكاني من النمط R-tree حققت أفضل أداء مقارنة بالأسماط الأخرى من الفهارس المكانية لأنها تعتمد في بناء الفهرس على البيانات الموجودة في مجموعة البيانات [Eldawy, Alarabi, Mokbel 2015]. وهذا ما دفع العديد من الباحثين للعمل على تطوير هذا الفهرس المكاني من خلال إضافة مفاهيم جديدة مثل تعلم الآلة إلى الخوارزمية الأصلية [Al-Mamun et al. 2022].

يوضح الشكل (1) مجموعة بيانات مكانية، والشكل (2) يمثل الفهرس المكاني R-Tree الموافق لها ممثلاً بطريقة بيانية،

## زين، الدوه جي و الخياط

```
void init(double x1, double x2, double y1, double y2)
{
    if(x1 < x2) {
        minx = x1;
        maxx = x2;
    }
    else {
        minx = x2;
        maxx = x1;
    }
    if(y1 < y2) {
        miny = y1;
        maxy = y2;
    }
    else {
        miny = y2;
        maxy = y1;
    }
}

Envelope()
: minx(DoubleNotANumber)
, maxx(DoubleNotANumber)
, miny(DoubleNotANumber)
, maxy(DoubleNotANumber)
{};
```

الشكل (5) وظيفة حساب MBR في المكتبة

[<https://github.com/libgeos/geos>]

وبدراسة الشيفرة المصدرية لبناء شجرة R-tree ضمن نظام [github.org/asel] Spatial Hadoop [dawy/spatialhadoop2] والمبينة في الشكلين (6) و(7)، نجد أن بناء الفهرس يعتمد على توليد مستطيل الحدود الأصغرى MBR من خلال استدعاء مكتبة جافا المعيارية المصممة للتعامل مع المضلعات كأشكال هندسية دونأخذ الوصفة النصية المكانية بعين الاعتبار حيث يتم أيضاً قراءة جميع النقاط المكونة للمضلع من أجل بناء مستطيل الحدود الأصغرى.

```
/*
public class Polygon extends java.awt.Polygon implements Shape {
    ...
@Override
public Rectangle getMBR() {
    Rectangle2D mbr = super.getBounds2D();
    return new Rectangle((long)mbr.getMinX(), (long)mbr.getMinY(),
        (long)mbr.getWidth(), (long)mbr.getHeight());
}
```

الشكل (6) وظيفة حساب MBR في Spatial Hadoop

- طريقة جديدة لتسريع بناء الفهرس المكانى R-Tree
- قراءة مجموعة البيانات وحساب مستطيل الحدود الأصغرى لكل كائن مع توليد المعرف الفريد لكل كائن
- إضافة العقد (أزواج معرف،مستطيل حدود) إلى الشجرة وتجزئة الشجرة وحساب المستطيل الخاص بالعقد في المستوى الأعلى وصولاً إلى العقدة الجذر.

إن المرحلة المتضمنة حساب مستطيل الحدود الأصغرى للكائن المكانى هي خطوة أساسية خاصة عند التعامل مع الكائنات المكانية ذات الشكل الهندسى المضلع حيث يتكون الكائن من عدد من النقاط المتصلة والتي تمثل مدخلات لحساب مستطيل الحدود الأصغرى، حيث يتم بناء المستطيل من خلال النموذج الرياضي المبين في الشكل (4):

*Calculate MBR for spatial object  
SO(polygon,{(x1,y1),(x2,y2).....(xn,yn)}):*

```
min_X = min(x:1..n)
min_Y = min(y:1..n)
max_X = max(x:1..n)
max_Y = max(y:1..n)
MBR = {min_X, min_Y, max_X, max_Y}
```

الشكل (4) نموذج رياضي لحساب مستطيل الحدود الأصغرى يتطلب تنفيذ هذا النموذج خوارزمية ذات درجة تعقيد مرتبطة بعدد النقاط المكونة للكائن المكانى. وبالتالي كلما زاد عدد العقد Vertices المكونة للمضلع كلما زاد زمن حساب مستطيل الحدود الأصغرى.

يتم حساب مستطيل الحدود الأصغرى في المكتبة GEOS [https://libgeos.org] الواسعة الاستخدام في معالجة البيانات المكانية عبر تنفيذ الشيفرة المبينة في الشكل (5) والتي تتطلب قراءة جميع الإحداثيات المكونة للمضلع قبل بناء المستطيل:

## زين، الدهو جي و الخياط

نظم معلومات أكثر تعقيداً مثل نظم الملاحة ومحركات البحث.

يعمل المعجم الجغرافي على تخزين ما يسمى بالسمات الجغرافية Features والتي يمكن تعريفها بأنها وصف تجريدي لظاهرة في العالم الحقيقي مرتبطة بموقع جغرافي على الكره الأرضية من خلال إحداثيات ونظام اسقاط جغرافي ومعرف نصي يعبر عن هذا الموقع (اسم مدينة، رمز بريدي). ويمكن إنشاء علاقات بين السمات الجغرافية من قبيل (دمشق موجودة في سوريا) أو (لبنان في جوار سوريا).

تبرز أهمية المعجم الجغرافي في إعطاء معنى للاسم أو الإحداثية فمثلاً يمكن أن تحتوي تغريدة توبر على إحداثيات GPS، ولكن ليتم ربط هذه الإحداثية بموقع ما يجب اللجوء إلى خدمة الدليل الجغرافي لمعرفة اسم الموقع. إن استخدام وتطوير المعاجم الجغرافية هو جزء أساسي من عمليات الاستعلام والنموذج المرتبطة بالتمكين الدلالي لخدمات الويب الجغرافية Spatial Semantic web كما هو مبين في أحدث الدراسات المتعلقة بهذا الموضوع [Kokla, Guilbert, [Halilali et al. 2022 2020].

### 3.2 خدمة الويب GFS :

خدمة الويب Web Feature Service-Gazetteer هي Web Feature Service نسخة معدلة من خدمة الويب WFS المعيارية. ولتمييزها عن الخدمة الأساسية يتم تسميتها اختصاراً WFS-G [OGC 2012]. تختلف استجابة هذه الخدمة عن WFS بأنها تقدم استجابة معتمدة على المكان المحدد للسمة من خلال الوسم SI \_ Location Instance كما تدعم في استعلاماتها العلاقة أب/ابن للسمات الجغرافية أي على سبيل المثال مدينة ضمن منطقة أو ولاية. كما تدعم الخدمة عمليات الفلترة المكانية والغرضية لوضع قيود على نتائج الاستعلام. وقد تم تطوير خدمة WFS-G لتكون خدمة

## طريقة جديدة لتسريع بناء الفهرس المكاني

```
void calculateBounds(int xpoints[], int ypoints[], int npoints)
    int boundsMinX = Integer.MAX_VALUE;
    int boundsMinY = Integer.MAX_VALUE;
    int boundsMaxX = Integer.MIN_VALUE;
    int boundsMaxY = Integer.MIN_VALUE;

    for (int i = 0; i < npoints; i++) {
        int x = xpoints[i];
        boundsMinX = Math.min(boundsMinX, x);
        boundsMaxX = Math.max(boundsMaxX, x);
        int y = ypoints[i];
        boundsMinY = Math.min(boundsMinY, y);
        boundsMaxY = Math.max(boundsMaxY, y);
    }
    bounds = new Rectangle(boundsMinX, boundsMinY,
        boundsMaxX - boundsMinX,
        boundsMaxY - boundsMinY);
}
```

الشكل (7) حساب MBR في مكتبة جافا المعيارية للتعامل مع الأشكال الهندسية

بناء على ما سبق نستنتج أن زمن بناء الفهرس R-Tree يتكون بشكل أساسى من زمن التهيئة و زمن قراءة البيانات وحساب مستطيلات الحدود و زمن إضافة العقد إلى الشجرة.

$$T_{total} = T_{init} + T_{mbr} + T_{insertion}$$

وبالتالي فإن إيجاد طريقة لتقليل زمن بناء المستطيل له تأثير مباشر على تخفيف زمن بناء الفهرس R-Tree.

## 2. استخدام الكلمات المفتاحية المكانية في

### بناء مستطيل الحدود الأصغرى:

#### 3.1 المعجم الجغرافي :Gazetteer

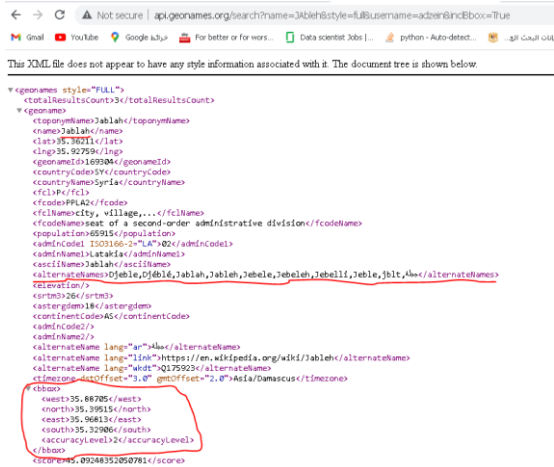
المعجم الجغرافي Gazetteer هو قاموس متوفّر شبكيًّا Online يتضمن الأسماء أو المصطلحات المكانية مع التمثيل الهندسي المكاني لها كسمة على الخريطة (شكل هندسي وإحداثيات ونظام إسقاط جغرافي)[NRC 2020]. يمكن استخدام خدمة المعجم الجغرافي للربط بين الأسماء والسمات الجغرافية. أي أنه من الممكن مثلاً تحويل اسم مدينة إلى نقطة أو مطلع مع إحداثيات محددة وفق نظام إسقاط جغرافي معين. كما يستطيع تقديم خدمة جديدة إلى التصفح للبيانات مع وظائف إضافة بيانات جديدة إلى الخدمة وتجميع عدة مصادر للبيانات الجغرافية ضمن سجلات كاملة لا تحتوي على بيانات مكررة أو غير ذات علاقة. يمكن استخدام الدليل كخدمة مستقلة للإجابة عن استعلامات مكانية كما يمكن استخدامه بشكل ضمني في

## زين، الدوه جي و الخياط

```
[{"geonames": [{"fcodeName: "capital of a political entity", toponymName: "Mexico City", countryCode: "MX", fcl: "P", folName: "city, village,...", name: "Mexico City", wikipedia: "", lng: -99.12766456604, fcode: "PLC", geonameId: 3530597, lat: 19.428472427036, population: 12294193}]]
```

الشكل(10) نموذج عن استجابة خدمة geonames

يمكن إضافة مستطيل الحدود الأصغرى إلى استجابة الخدمة من خلال إدراج هذا الخيار في عنوان URL للطلب مما يؤدي للحصول على استجابة وفق الشكل (11):



الشكل(11) مستطيل الحدود في استجابة خدمة geonames

من التحديات التي تواجه خدمة الدليل الجغرافي غياب مستطيل الحدود الأصغرى MBR عن سجلاته أو عدم دقة هذا المستطيل إن وجد خاصة في حال كان يعتمد الدليل على بيانات تطوعية من المستخدمين مما يسبب عدم اتساق في بيانات الخدمات المختلفة. ولمواجهة هذه التحديات تم تطوير خدمة دليل جغرافي تهتم خصوصاً ببناء مستطيل الحدود الأصغرى بشكل دقيق لكل سجل من سجلات الدليل الجغرافي مما يسمح ببناء علاقات أب-ابن بين السجلات وكذلك تسهيل عمليات البحث المكانى من خلال التحسين الاحتمالي لعملية بناء المستطيل [Singh, Rafiei 2018]. تم تطوير طريقة لبناء مستطيل الحدود الأصغرى من خلال دراسة خدمات الدليل الجغرافي Geo Names ،

طريقة جديدة لتسريع بناء الفهرس المكانى R-Tree معيارية قابلة للتحقيق من قبل المبرمجين المختصين في مجال معالجة البيانات. تسمح خدمة المعجم الجغرافي بتوفير استعلامات بحث عن اسم أو مصطلح جغرافي معين للوصول إلى التمثيل الجغرافي الهندسى لذلك الاسم كاستجابة من الخدمة. حيث يتم الاستعلام من خلال الاتصال الشبكي بالخدمة كما هو مبين في الشكل (8).

```
<gml:featureMember>
  <SI_LocationInstance>
    id="CWEID_SI_LOCINST_0.76209_4D91FA52A0661B747E2324020000">
      <guid>32CE40C6-C3DC-11D6-9C20-00144F233E68</guid>
      <geographicIdentifier>1809338</geographicIdentifier>
      <alternativeGeographicIdentifiers>
        <alternativeGeographicIdentifier>
          <name>Alcatraz Island Lighthouse</name>
          <nameID>(769EBABA-CA3E-478E-E044-00144F233E68)</nameID>
          <type>official</type>
          <primary>true</primary>
        </alternativeGeographicIdentifier>
      </alternativeGeographicIdentifiers>
    <position>
      <gml:Point srsName="EPSG:4326">
        <gml:pos srsName="EPSG:4326" srsDimension="3">-122.4219159
        37.826039
        0</gml:pos>
      </gml:Point>
    </position>
  </SI_LocationInstance>
</gml:featureMember>
```

الشكل (8) مثال عن استجابة WFS-G

تمتلك هذه الخدمة مجموعة من المناهج مثل GetCapabilities، GetFeatureGetFeature بالحصول على السمة الجغرافية المنهج المطلوب في عملية البحث كما هو مبين في الشكل (9)، ومن الممكن أن تكون هذه السمة الجغرافية معبرة عن مستطيل الحدود الأصغرى للسمة.

```
<?xml version="1.0" encoding="UTF-8"?>
<GetFeature xmlns="http://www.opengis.net/wfs"
  xmlns:iso19112="http://www.usgs.gov/gnis"
  xmlns:ogc="http://www.opengis.net/ogc"
  xmlns:xsi="http://www.w3.org/2001/XMLSchema-instance"
  xmlns:gml="http://www.opengis.net/gml" service="WFS" version="1.1.0"
  outputFormat="text/xml; subtype=gml/3.1.1" maxFeatures="100"
  handle="">
  <ogc:filter>
    <ogc:PropertyName>iso19112:SI_LocationInstance</ogc:PropertyName>
    <ogc:PropertyIsEqualTo>
      <ogc:PropertyName>iso19112:SI_LocationInstance@alternativeGeographicIdentifier</ogc:PropertyName>
      <ogc:alternativeGeographicIdentifier>
        <ogc:Literal>Hawaii</ogc:Literal>
      </ogc:alternativeGeographicIdentifier>
    </ogc:PropertyIsEqualTo>
  </ogc:filter>
</GetFeature>
```

الشكل (9) مثال عن طلب Get Feature

لو أخذنا خدمة Geo Names [www.geonames.org] كمثال على Gazetteer Service لوجدنا أنها تتألف من ملايين السجلات التي تربط بين الأسماء والإحداثيات ضمن بنية شجرية حيث يمكن الوصول إلى البيانات المطلوبة من خلال استدعاء واجهة برمجة التطبيقات API المناسبة للحصول على نتيجة الاستعلام كما هو مبين في الشكل (10).

## زين، الدوه جي و الخياط

[Li et al. 2011] ومن تلك الخوارزميات خوارزمية IR-tree [2013]. والتي تعتمد الواصفة المكانية النصية مع الفهرس المكانى لتحقيق فهرس هجين نصي مكاني والتي تم البرهان على أنها تحقق أداء متفوق في عمليات البحث ضمن المستندين الجغرافية.

## 3. خوارزمية جديدة لتحسين طريقة بناء الفهرس المكانى R-Tree

### 4.1 مبدأ عمل الخوارزمية:

تهدف الخوارزمية إلى تحسين طريقة بناء الفهرس المكانى R-Tree من حيث زيادة السرعة مع الحفاظ على المحتوى عند التعامل مع بيانات مكانية من الشكل المضلع، حيث أن هذا النوع من البيانات يزداد تعقيده بزيادة عدد النقاط المكونة للمضلع.

يرتكز مبدأ عمل الخوارزمية على وجود منهجين لبناء مستطيل الحدود الأصغرى - وهو العنصر الأساسي الذي يتم تخزينه في عقد الشجرة R-Tree - المنهج الأول يعتمد النموذج الرياضي، والمنهج الثاني يعتمد خدمة المعجم الجغرافي، مع عملية اتخاذ قرار تسمح للخوارزمية باختيار أحد منهجين عند معالجة كل كائن من مجموعة البيانات المكانية.

في المنهج الأول تتم عملية حساب مستطيل الحدود الأصغرى من خلال قراءة جميع الإحداثيات المكونة للكائن المكانى (نقطة، خط، مضلع) وإيجاد القيم الحدية القصوى والصغرى للوصول إلى المستطيل المعرف بنقطتين ثانيتىي البعض في حالة مجموعة بيانات ثنائية البعض (نقطة أعلى يسار ونقطة أدنى يمين).

في حال كان الكائن المكانى من النمط المضلع عالي التعقيد (يتألف من عدد كبير نسبياً من العقد) [Zhao et al. 2019]، يصبح حساب المستطيل مسألة مستهلكة للوقت والذاكرة لأنه يتطلب تحميل كل إحداثية من مجموعة البيانات إلى الذاكرة ثم تتنفيذ عمليات مقارنة لكل إحداثية وصولاً لإيجاد القيم

طريقة جديدة لتسريع بناء الفهرس المكانى R-Tree ..... طريقة جديدة لتسريع بناء الفهرس المكانى R-Tree [Singh 2017] OSMNames لبناء هذا المستطيل وتوسيع الدليل الجغرافي ليشمل مستطيل حدود أصغرى أصبح بالإمكان الاستفادة منه في بناء الفهرس المكانى.

تظهر نموذج استجابة مخدم البيانات الجغرافية Geoserver الذي يحتوى على تحقيق مفتوح المصدر للخدمة WFS مع نموذج WFS-G (خدمة ويب المعجم الجغرافي) إمكانية استخدامه في الحصول على مستطيل الحدود الأصغرى المرتبط بواصفة مكانية (اسم مكان) محدد كما هو مبين في الشكل (12):

```
{"type": "FeatureCollection", "features": [{"type": "Feature", "id": "world-administrative-boundaries.128", "geometry": {"type": "MultiPolygon", "coordinates": [...]}, "geometry_name": "the_geom", "properties": {"status": "Member State", "color_code": "LBN", "region": "Western Asia", "iso": "LBN", "continent": "Asia", "name": "Lebanon", "iso_3166_1": "LB", "french_shor": "Liban", "bbox": [35.10083, 33.06208, 36.62374, 34.6475]}], "totalFeatures": 1, "numberMatched": 1, "numberReturned": 1, "timeStamp": "2022-10-14T09:55:56.530Z", "crs": {"type": "name", "properties": {"name": "urn:ogc:def:crs:EPSG:4326"}}, "bbox": [33.06208, 35.10083, 34.6475, 36.62374]}]
```

### WFS (12) مستطيل الحدود في استجابة

## 3.3 استخدام الكلمات المفتاحية المكانية في خوارزميات الفهرسة والتجزئة المكانية:

أثبتت الأبحاث أنه من الممكن الاستفادة من الكلمات المفتاحية المكانية الموجودة في مجموعة البيانات في عملية الفهرسة والتجزئة، وتم اقتراح بناء فهرس هجين نصي مكاني للوصول إلى تقسيم عالي الكفاءة وذلك للبيانات المكانية بشكل عام بغض النظر عن حجمها [Kloster 2017]. كما تم اجراء مقارنة للأداء بين الفهارس النصية والفهارس المكانية في تفزيذ الاستعلامات ضمن المستندين التي تحتوي نصوص ذات دلالة جغرافية حيث أثبتت النتائج أن محرك البحث الذي يعتمد على فهرسة نصية ومكانية يحقق أداء أفضل من النظم التقليدية [Christoforaki et al. 2011]، وبناءً على ذلك تم تطوير عدة خوارزميات تستخدم الواصفة المكانية النصية إلى جانب البيانات الجغرافية في بناء فهرس نصي-مكاني ومقارنة أداء هذه الخوارزميات [Chen et al.

## زين، الدهو جي و الخياط

نقترح في الخوارزمية الجديدة الاستفادة من الوصفة النصية المراقبة للكائن المكاني في الحصول على مستطيل الحدود الأصغرى من خلال استدعاء خدمة ويب بدلاً من حساب المستطيل لكل كائن من كائنات مجموعة البيانات الكبيرة ومن ثم الاستفادة من مستطيل الحدود في بناء الفهرس المكاني من النوع R-tree.

تهدف الخوارزمية إلى تسريع بناء الفهرس R-Tree لمجموعة بيانات مكونة من مصلعات عالية التعقيد وبالتالي لا بد من تحليل العوامل التي تؤدي إلى زيادة زمن البناء.

إن عملية استدعاء خدمة الويب لها تكلفة زمنية نتيجة عبء الاتصال Overhead مقارنة بالطريقة التقليدية في حساب MBR ذات التكلفة الزمنية الناجمة عن عمليات الحساب المتكررة Computation Overhead في حساب MBR ذات التكلفة الزمنية الناجمة عن عمليات الحساب المتكررة Computation Overhead، وبالتالي يجب أن تكون الخوارزمية الجديدة قادرة على الاختيار بين أحد الطريقتين من خلال استخدام عتبة معينة للقرار. يتم حساب هذه العتبة من خلال حساب الزمن اللازم لبناء مستطيل حدود أصغرى لمجموعة ثابتة العدد من النقاط ، وحساب متوسط الزمن اللازم للحصول على استجابة صالحة من خدمة الويب عند ارسال مجموعة ثابتة من الطلبات. كما هو موضح في خطوات المرحلة الأولى من الخوارزمية.

وبالتالي نقترح إضافة عملية اتخاذ قرار إلى خوارزمية التقسيم، حيث تقوم هذه العملية بدراسة عينة من مجموعة بيانات الدخل لمعرفة الشكل الهندسي للكائنات والتي يجب أن تكون من النوع "مصلع Polygon" وكذلك حساب درجة التعقيد لتلك الكائنات المصلعة والتي يمكن تعريفها من خلال معادلة تربط بين درجة التعقيد وعدد العقد المكونة للمصلع. وأيضاً يجب أن نتأكد من وجود وصفة نصية ذات دلالة مكانية مراقبة لكل كائن للاستفادة منها في بناء الطلب الموجه إلى خدمة الويب.

بناءً على نتيجة عملية اتخاذ القرار إما نتابع العمل بالطريقة التقليدية أو نستخدم الطريقة المعدلة.

طريقة جديدة لتسريع بناء الفهرس المكاني R-Tree الحدية. حيث أننا في البيانات المكانية الكبيرة نتعامل مع مجموعة بيانات كبيرة الحجم مخزنة على الأقراص بصيغة ملف معياري (مثلاً GML-XML أو GeoJSON) وهذه الملفات تحفظ بقيم جميع الإحداثيات المكونة للكائن المكاني كما هو مبين في الشكل (13).

```
<gml:featureMember>
  <gml:Country>
    <gml:id>Country_1</gml:id>
    <gml:geometryProperty><gml:MultiPolygon>
      <gml:outerBoundaryIs>
        <gml:LinearRing>
          <gml:coordinates>
            -15.64306646033 28.97368837875, -15.64304664033 28.97368837875, -15.64404296875 29.7258984375, -15.644623990625 29.4873046875, -15.64977334375 29.287890625,
            -15.77664484375 29.050589375, -15.90117875 28.973046875, -15.95009765625 28.9130859375,
            -16.000083375 28.866601875, -16.049986125 28.7856446375, -16.0998890625 28.714578125,
            -16.30515234375 28.83271484375, -16.42421209375 28.760546675, -16.532129950525 28.76064463125,
            -16.53193359375 28.3998046875, -16.66279236875 28.16376953125, -16.7697298625 27.9332265625,
            -16.89613140625 27.75654296875, -17.0603515625 27.63671875, -17.262109375 27.437890625,
            -17.461015625 27.2459375, -17.659828125 27.0509375, -17.8587234375 26.8538125, -18.057615625,
            -18.0415039625 26.5773390625, -18.02255859275 26.3333984375, -17.92298675 26.13955078125,
            -17.91710425 26.055984375, -17.9698242125 25.86328125, -17.951953125 25.7416015625,
            -17.85058125 25.639648125, -17.824321875 25.50771875, -17.794495125 25.4817978125,
            -17.755173875 25.45378125, -17.726884875 25.4234375, -17.6985178125 25.397578125,
            -17.5685546875 24.93241875, -17.54345703125 24.7929105625, -17.5177334375 24.27490234375,
            -17.4810546875 24.2271484375, -17.4895078125 24.0369140625, -17.520984375 23.79921875,
            -17.44971875 24.000083375, -17.4291484375 23.77921875, -17.408546875 23.550083375,
            -17.4744140625 22.955853975, -17.2887421875 22.72197265625, -17.07329296875 22.54599609375,
            -16.910253990625 22.45947265625, -16.81513671875 22.305078125, -16.68955078125 22.1393453125,
            -16.628125 22.15068359375, -16.597179640625 22.040234375, -16.26279296875 21.97978515625,
            -16.95856440625 21.888171875, -16.72421209375 21.7998075, -15.40322865625 21.97958984375, -15.082324
```

الشكل (13) تخزين الإحداثيات في ملف GML

في المنهج الثاني يتم بناء خدمة تقوم بتحويل الوصفات المكانية إلى مستطيل حدود أصغرى ويمكن أن يتم البناء بعدة طرق:

- **الطريقة الأولى** هي استخدام خدمة ويب متاحة من قبل مزود خدمة من خلال Web Service API مثل الخدمة Geo Names والتي تتضمن ملايين السجلات المتاحة من خلال اشتراك بسيط يتم بموجبه الحصول على هوية وفتاح Key لاستخدام الخدمة.

- **الطريقة الثانية** هي من خلال استضافة خدمة Geo Server على مخدم جغرافي محلي مثل المخدم وتقديمه بقواعد البيانات المناسبة حيث يتم التفاعل مع المخدم من خلال خدمة الويب الجغرافية المعيارية WFS ووفق نموذج البيانات المعياري WFS-G المخصص لتحويل الوصفات النصية المكانية إلى إحداثيات.

- **الطريقة الثالثة** هي من خلال بناء خدمة ويب جديدة وفق النموذج المعياري WFS-G باستخدام لغة البرمجة المناسبة ثم بناء قواعد البيانات التي تحتوي على الأسماء الجغرافية ومستطيلات الحدود الموقعة لها.

## 4.2 تصميم الخوارزمية

زين، الدوه جي و الخياط

بناء المستطيل لأي مسلح مكون من عدد محدد من النقاط

$$n \text{ وفق المعادلة: } T_{mb} = t_{point} * n$$

- الخطوة الثالثة هي ارسال عدة طلبات تجريبية إلى

خدمة الويب التي تقوم بتحويل الأسماء إلى مستطيل حدود

$$T_{ws} \text{ وحساب متوسط زمن الاستجابة}$$

- الخطوة الرابعة: إنشاء فهرس مكاني R-Tree فارغ

وفق بارمترات افتراضية

المرحلة الثانية: مرحلة التنفيذ وفيها يتم تكرار مجموعة

خطوات على جميع الكائنات المكونة لمجموعة البيانات المكانية.

- الخطوة الأولى: قراءة الواصلقة المكانية

- الخطوة الثانية: حساب عدد النقاط المكونة للكائن

$$T_{mbr}$$

- الخطوة الثالثة: مقارنة  $T_{mbr}$  مع  $T_{ws}$  واتخاذ

القرار وفق ما يلي:

$T_{mbr} > T_{ws}$ : Build MBR using web service method

$T_{mbr} < T_{ws}$ : Build MBR using traditional method

- الخطوة الرابعة بناء المستطيل وفق الطريقة التي تم

اختيارها. وفي حال تم بناء المستطيل بطريقة خدمة الويب

يتم أخذ نقطة واحدة كعينة من المسلح والتحقق من وقوعها

داخل حدود المستطيل للتأكد من صحة المستطيل وإلا نعيد

بناء المستطيل باستخدام الطريقة التقليدية.

- الخطوة الخامسة إضافة العقدة الجديدة الموافقة

للكائن إلى الفهرس المكاني R-Tree كزوج من القيم

$$(Idi, MBRi)$$

المرحلة الثالثة: مرحلة الخرج

وفي هذه المرحلة تكون قد حصلنا على بنية معطيات من

النوع R-Tree تتضمن معرفات الكائنات المكونة لمجموعة

البيانات مع مستطيل الحدود الخاص بكل منها كأوراق

للشجرة، ومستطيلات حدود إجمالية في المستويات الأعلى

من الشجرة وصولاً إلى العقدة الجذر.

طريقة جديدة لتسريع بناء الفهرس المكاني R-Tree .....  
لو كان القرار دائماً استخدام الطريقة التقليدية مع جميع  
كائنات مجموعة البيانات لحصلنا على أسوأ نتيجة متوقعة في  
هذه الخوارزمية حيث يكون زمن التنفيذ مساوياً الزمن اللازم  
لبناء الفهرس R-Tree بالطريقة التقليدية مضافاً إليه العبء  
الناتج عن عملية حساب العتبة واتخاذ القرار.

كما أن الطريقة الجديدة التي تعتمد على تحويل الواصلقة  
المكانية إلى مستطيل حدود أصغر قد تعطي نتائج خاطئة  
كتنبوتة لتشابه الأسماء في بعض الأحيان وهذه يتطلب  
إضافة خطوة للتحقق Validation من صحة النتيجة إلى  
الخوارزمية.

تفترض الخوارزمية وجود مجموعة بيانات مكانية من المراد  
توزيعها على مجموعة من العقد ليتم معالجتها بشكل تفريعي  
للحصول على النتائج.

دخل الخوارزمية هو مجموعة البيانات وخرج الخوارزمية هو  
فهرس مكاني من النمط R-tree.

تفترض الخوارزمية وجود طريقتين لبناء مستطيل الحدود  
الأولى باستخدام الخوارزمية الرياضية التقليدية والثانية  
باستخدام خدمة تحويل الواصلقة المكانية النصية إلى مستطيل  
حدود.

تعمل الخوارزمية من خلال مراحل متعددة الخطوات:

المرحلة الأولى: مرحلة الدخل والتهيئة وتتضمن:

- الخطوة الأولى هي قراءة ملف الدخل وتحديد نوعه  
من حيث الشكل الهندسي (نقطي أو مسلح) حيث أن هذه  
الخوارزمية مخصصة للكائنات المسلح Polygon، والتأكد  
من وجود واصفة مكانية مرفقة بالكائن (أي أن هذه الكائنات  
هي تمثيل لسمة جغرافية وليس مجرد شكل هندسي)

- الخطوة الثانية هي اختيار عينة من الكائنات  
وحساب الزمن اللازم لبناء مستطيل الحدود الأصغر وتقسيم  
هذا الزمن على عدد النقاط المكونة للمسلح للحصول على  
قيمة من الواحدة زمن/نقطة يمكن استخدامها في تقدير زمن

```

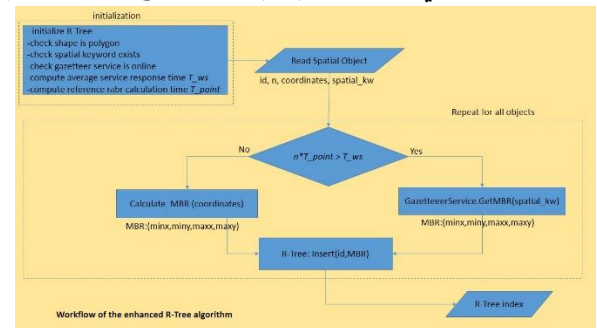
//init phase
ds=read_spatial_dataset(file)
//check if polygon
if (ds. geometry .type!=>'polygon')
    //finish algorithm
    return -1
//check a sample i for spatial keyword
kw=ds[i].spatial_keyword_attribute
if (get_mbr(kw).status!=>'success')
    return -1
//measure average get_mbr time
repeat 10 times:
    t+=get_mbr(kw).execution_time
    time_get_mbr=t/10
//measure calculate mbr time
    x=random(1000 elements)
    y=random(1000 elements)
t=calculate_mbr(x, y).execution_time
    time_calc_mbr=t/1000
r_tree=new_rtree (init parameters)
//execution phase
for each so in ds
    kw=so.spatial_keyword_attribute
    n=so.geometry.coordinates.length
    //random coordinate for validation
    p=random(so.geometry.coordinates)
    threshold=time_calc_mbr*n
    if time_get_mbr<=threshold
        mbr=get_mbr(kw)
        //validate
        if (p.inside(mbr))
            return mbr
    //else use traditional method
    mbr=calculate_mbr(so.geometry.x, so.
                      geometry.y)
    return mbr
    //Insert node to r-tree
    R_tree.insert(so.id, mbr)
    //output phase
    r_tree.Save_to_disk(file)

```

### 4.3 الاختبار والنتائج:

للرهان على فعالية الخوارزمية المقترحة في تقليل زمن بناء الفهرس R-Tree عند التعامل مع مجموعة بيانات مكانية من النوع المضلع، تم تنفيذ مجموعة من الاختبارات التي تهدف

طريقة جديدة لتسريع بناء الفهرس المكانى .....R-Tree يمكن في هذه الخطوة تخزين الفهرس بشكل دائم ضمن ملف على القرص من أجل استخدامه عند الحاجة، أو من الممكن الالتفاء بتخزين الفهرس ضمن بنية المعطيات المناسبة في الذاكرة الرئيسية للحاسوب ليتم استخدامه في عمليات الاستعلام والتحليل المكانى اللاحقة. يمكن استخدام المخطط التدفقى المبين في الشكل (14) لتوضيح التصميم:



تمثل شبه الشيفرة البرمجية التالية Pseudo Code خطوات عمل الخوارزمية:

```

//build MBR using traditional method
function calculate_mbr (x, y)
{
    //find_min & find_max are functions of O(n)
    complexity where n is array length
    min_x=find_min(x)
    max_x=find_max(x)
    min_y=find_min(y)
    max_y=find_max(y)
    mbr=[min_x, min_y, max_x, max_y]
    return mbr
}
//build MBR using web service method
function get_mbr(spatial_kw)
{
    //build web api request using keyword
    web_api='http://namegeoserver/getFeature?name=
    spital_kw'
    //get response
    response=request(web_api)
    //extract mbr (bounding box) from response
    mbr=response['bbox']
    return mbr
}
//enhanced method for r-tree building
function build_rtree_enhanced ()

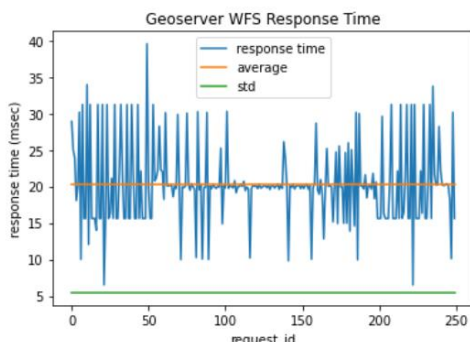
```

### زين، الدوه جي و الخياط

يبين الشكل (16) زيادة زمن التنفيذ بزيادة عدد النقاط. حيث تأخذ الزيادة منحى غير خطى في البداية نتيجة للعبء المتعلق بتشغيل بيئة العمل، ثم منحى خطى عندما يزداد عدد النقاط عن حد معين، مما يدل على وجود علاقة طردية بين زمن بناء المستطيل وعدد النقاط.

يهدف الاختبار الثاني للبرهان على استقرار زمن الاستجابة خدمة المعجم الجغرافي وعدم ارتباطه بعدد النقاط المكونة للكائن المكاني حيث تم تفزيذ التجربة بإرسال عدد من الطلبات إلى الخدمة وقياس زمن الحصول على الاستجابة المطلوبة.

يبين الشكل (17) الخط البياني لزمن الاستجابة لخدمة Geoserver WFS-G ومتوسط وبيان زمن الاستجابة ونلاحظ استقرار القيم حول المتوسط، وانخفاض الانحراف المعياري عن المتوسط.



الشكل(17) زمن الحصول على مستطيل الحدود لمجموعة بيانات مضلعه

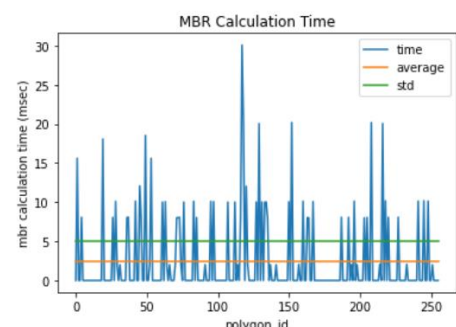
يهدف الاختبار الثالث إلى البرهان على قدرة الخوارزمية المقترحة على تقليل زمن بناء الفهرس R-Tree عندما تحتوي مجموعة البيانات على مضلوعات معقدة مكونة من عدد من النقاط أكبر من عتبة القرار المستخدمة في الخوارزمية.

بغرض تفزيذ الاختبار تم بناء مجموعتين من البيانات المكانية ذات الشكل المضلوع (حدود دول البلطيق)، حيث تتميز دول البلطيق بحدود بحرية طويلة ومتغيرة من حيث

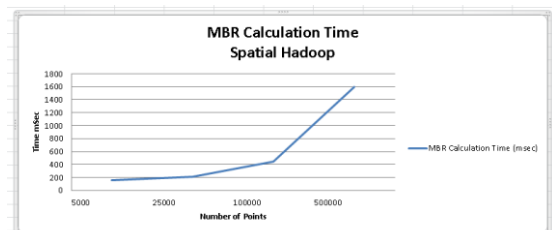
طريقة جديدة لتسريع بناء الفهرس المكاني R-Tree إلى التحقق التطبيقي من صحة الأسس النظرية التي اعتمدت عليها الخوارزمية.

يهدف الاختبار الأول للبرهان على أن زمن عملية بناء مستطيل الحدود الأصغرى مرتبط بتعقيد الشكل الهندسى المضلوع (عدد النقاط المكونة للمضلوع) حيث يزداد الزمن اللازم لبناء المستطيل بزيادة عدد النقاط مما يجعله عاملاً مؤثراً في سرعة بناء الفهرس.

يبين الاختبار الذي قمنا به على مجموعة بيانات مضلعه مختلفة من حيث عدد النقاط المكونة لكل مضلوع التباين العالى في سرعة الاستجابة كما هو مبين في الشكل (15):



الشكل(15) زمن بناء مستطيل الحدود لمجموعة بيانات مضلعه كما تبين التجربة التالية التي قمنا بتنفيذها على نظام SpatialHadoop - وهو أحد نظم معالجة البيانات المكانية الكبيرة- زمن حساب مستطيل الحدود الأصغرى لعدةمجموعات بيانات مكانية مختلفة من حيث عدد النقاط. حيث توضح هذه التجربة العلاقة بين زمن بناء مستطيل الحدود الأصغرى وعدد النقاط المكونة للكائنات المكانية. يوضح الشكل (16) هذه العلاقة.



الشكل (16) العلاقة بين عدد النقاط و زمن حساب مستطيل الحدود الأصغرى

زن، الدوه جى و الخياط

الشكل (19) عينة من جدول الاصفات لمجموعة بيانات دول الاطلسي  
عالية الدقة المكانية

يبلغ متوسط عدد النقاط المكون لكل مصلح في مجموعة البيانات المبينة في الشكل (1) حوالي 1200 نقطة، والعدد الأعظمي للنقاط في مصلح واحد لا يتجاوز 5000، وفي المقابل يبلغ متوسط عدد العقد في مجموعة البيانات المبينة في الشكل (18) حوالي 3 مليون نقطة والعدد الأعظمي

يهدف الاختبار التالي إلى حساب زمن بناء مستطيل الحدود الأصغرى لكل كائن من المجموعتين حيث تم الحصول على النتائج المبينة في الجدول (1)، عند تفزيذ الاختبار على حاسب بمعالج i7 الجيل العاشر من 6 نوى و 8 GB من الذاكرة الرئيسية مع بناء وظيفة لبناء MBR وفق النموذج :Python (4) بلغة المبين في الشكل

### الجدول (1) مقارنة زمن بناء MBR لمجموعتي بيانات الاختبار

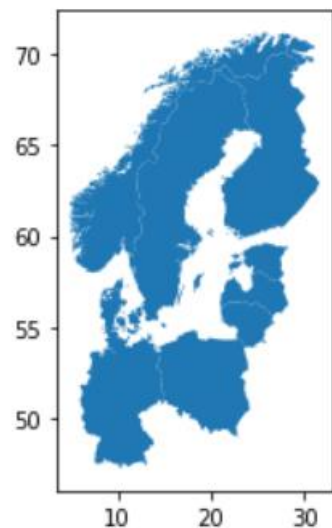
MBR زمن بناء	مجموعة البيانات
0.08 ثانية	دول البلطيق
25.7 ثانية	دول البلطيق (نقطة عالية)

نلاحظ الزيادة الكبيرة في زمن بناء المستطيل. تلعب مواصفات الحاسوب المستخدم دوراً أساسياً في عملية الاختبار، خاصة سرعة المعالج في تنفيذ العمليات الحسابية، حيث أن عتبة القرار المستخدمة في الخوارزمية تعتمد بشكل مباشر على زمن تنفيذ عملية حساب مستطيل الحدود، وتتغير هذه العتبة بتغيير مواصفات الحاسوب المستخدم. كما أن سرعة وجودة الاتصال بين الحاسوب المستخدم في الاختبار، وخدمة الويب التي يتم الوصول إليها عبر شبكة الانترنت، هر، أيضاً عامل مؤثر في حساب عتبة القرار.

نستخدم خدمة الويب Geonames للحصول على مستطيل الحدود الأصغرى بالاستفادة من الواصفة النصية المكانية Name الموجودة في مجموعة البيانات فنحصل على النتيجة المبينة في الجدول (2) عند تنفيذ الاختبار باستخدام اتصال انترنت عالي عرض الحزمة:

## انترنت عالي عرض الحزمة:

طريقة جديدة لتسريع بناء الفهرس المكاني R-Tree ..... وجود الرؤوس والخلجان والجزر وجود مراكز هامة للنشاط البشري يجعل للبيانات المكانية المرتبطة بها أهمية كبيرة في التطبيقات المختلفة. يمثل الشكل (18) مجموعة بيانات متطابقة جغرافياً مع مجموعة البيانات المبينة في الشكل (1) ولكن في الواقع فإن المجموعة الأولى مكونة من عدد محدود من النقاط المستخدمة في بناء المضلع، أما المجموعة الثانية فهي مكونة من مجموعة أكبر من النقاط لبناء كل مضلع. وبما أن مجموعة البيانات الثانية تمتلك قدرة تمييز مكانية أعلى من مجموعة البيانات الأولى، نطلق على مجموعة البيانات الثانية اسم "دول البلطيق (دقة عالية)".



### الشكل (18) مجموعة بيانات دول البلطيق بمضلعات عالية الدقة المكانية

يبين الشكل (19) عينة من جدول الوصفات لمجموعة البيانات ويمكن ملاحظة القيم الكبيرة لعدد النقاط المكونة لكل مضمون.

status	color_code	region	iso3	continent	name	iso_3166_1	french_sho	vertices	geometry
6	Member State	NOR	Northern Europe	NOR	Europe	Norway	NO	Norvège	MULTIPOLYGON (((5.287789 59.21889, 5.287759 59.2...
8	Member State	SWE	Northern Europe	SWE	Europe	Sweden	SE	Suède	MULTIPOLYGON (((16.43722 58.21139, 16.43721 58.21139, 16.43721 58.21138, 16.43722 58.21138, 16.43722 58.21139))...
4	Member State	FIN	Northern Europe	FIN	Europe	Finland	FI	Finnland	MULTIPOLYGON (((23.70583 59.92722, 23.70577 59.92722, 23.70577 59.92721, 23.70583 59.92721, 23.70583 59.92722))...
5	Member State	DEU	Western Europe	DEU	Europe	Germany	DE	Allemagne	MULTIPOLYGON (((14.22555 53.92869, 14.22554 53.92869, 14.22554 53.92868, 14.22555 53.92868, 14.22555 53.92869))...
7	Member State	DNK	Northern Europe	DNK	Europe	Denmark	DK	Danemark	MULTIPOLYGON (((11.51398 54.02972, 11.51394 54.02972, 11.51394 54.02971, 11.51398 54.02971, 11.51398 54.02972))...
1	Member State	POL	Eastern Europe	POL	Europe	Poland	PL	Pologne	MULTIPOLYGON (((19.62784 54.46327, 19.62782 54.46327, 19.62782 54.46326, 19.62784 54.46326, 19.62784 54.46327))...
2	Member State	EST	Northern Europe	EST	Europe	Estonia	EE	Estonie	Polygon (((22.98465 58.59849, 22.98465 58.59848, 22.98466 58.59848, 22.98466 58.59849, 22.98465 58.59849))...
9	Member State	LTU	Northern Europe	LTU	Europe	Lithuania	LT	Lithuanie	292393 POLYGON (((27.37267 57.55684, 27.37267 57.55685, 27.37268 57.55685, 27.37268 57.55684, 27.37267 57.55684))...
3	Member State	LTU	Northern Europe	LTU	Europe	Lithuania	LT	Lithuanie	MULTIPOLYGON (((27.37267 57.55685, 27.37267 57.55685, 27.37268 57.55685, 27.37268 57.55684, 27.37267 57.55685))...

## زين، الدوه جي و الخياط

نلاحظ بالدراسة التحليلية للخطوط البيانية التي تم الحصول عليها أن زمن حساب مستطيل الحدود لكل مضلع وفق الطريقة الحسابية يختلف بين مجموعتي البيانات الأولى والثانية، وهذا واضح من دراسة القيم العظمى للمنحنى البياني (ds1\_calcnbr) والمنحنى البياني (ds2\_calcnbr) (حوالي 12 ثانية). علماً أن ds2 تشمل على نفس المضلعات الموجودة في ds1 ولكن بصيغة أكثر تعقيداً (عدد أكبر من النقاط المكونة للمضلع). أما بالنسبة للمنحنى البياني (ds1\_wfsgmbr) والمنحنى البياني (ds2\_wfsgmbr) فنلاحظ أن مجال القيم التي تم الحصول عليها متقارب في المنحنين (من رتبة عشرات الملي ثانية) باستثناء القيمة الشاذة التي تم الحصول عليها في بداية المنحنى (أكبر من 1 ثانية) والناتجة عن زمن تأسيس الاتصال مع خدمة الويب. واعتماداً على النتائج التي تم الحصول عليها والتي تبرهن على استقلال زمن بناء مستطيل الحدود عن عدد النقاط المكونة للمضلع عند استخدام خدمة ويب المعجم الجغرافي يقوم ببناء التحقيق البرمجي للخوارزمية المبنية في الشكل (14) باستخدام لغة Python ونقوم بحساب نتيجة زمن بناء الفهرس المكاني R-Tree باستخدام الطريقة التقليدية وباستخدام الخوارزمية الجديدة، ويتم الاختبار على نفس الحاسوب المذكور سابقاً.

يبين الشكل (21) خرج مرحلة التهيئة للخوارزمية والتي يتم فيها يتم حساب عتبة القرار والتي تختلف باختلاف بيئة التنفيذ:

```

Enhanced RTree using Spatial Keywords initialization phase...
1665741955.0669837
[20.96861000000007, 55.67483000000004, 28.235970000000066, 58.08326000000005]
1665741955.1873212
292293
0.12033748626708984
threshold time for one coordinate
4.1170156749251555e-07
sample response time for web service
0.015622854232788086
decision point
choose method two when number of coordinates is more than:
37947.036072608826

```

الشكل(21) مرحلة حساب عتبة القرار

## طريقة جديدة لتسريع بناء الفهرس المكاني R-Tree

### الجدول(2) زمن الحصول على مستطيل الحدود لمجموعتي البيانات

باستخدام Geonames

مجموعه البيانات	زمن بناء MBR
دول البلطيق	7 ثانية
دول البلطيق (دقة عالية)	7.8 ثانية

نلاحظ أن زمن بناء المستطيل لم يتأثر بزيادة حجم مجموعة البيانات.

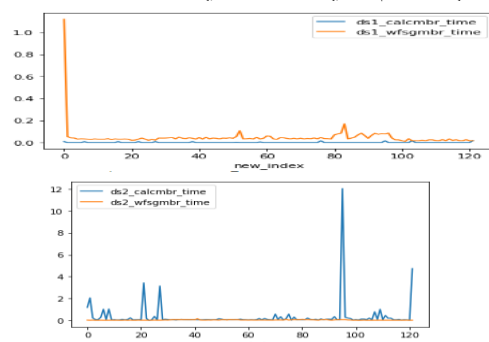
كما نستخدم خدمة الويب WFS المتوفرة في المخدم Geoserver للحصول على مستطيل الحدود الأصغرى باستخدام الواصفة النصية المكانية فنجد النتائج المبينة في الجدول (3) عند استخدام مخدم Geoserver على الشبكة المحلية لاستضافة الخدمة WFS:

### الجدول(3) زمن الحصول على مستطيل الحدود لمجموعتي البيانات

باستخدام Geoserver WFS

مجموعه البيانات	زمن بناء MBR
دول البلطيق	5.2 ثانية
دول البلطيق (دقة عالية)	5.4 ثانية

يبين الشكل (20) الزمن بالثانية لبناء مستطيل الحدود لكل مضلع من مجموعة البيانات ذات الدقة المنخفضة (ds1) ومجموعة البيانات ذات الدقة العالية (ds2) باستخدام الطريقة الحسابية وباستخدام طريقة خدمة الويب.



الشكل(20) مقارنة زمن بناء مستطيل الحدود بالطريقتين

زن، الدوه جى و الخياط

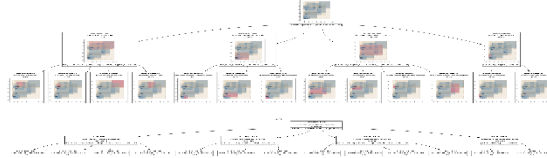
حيث يبلغ متوسط عدد العقد في مجموعة البيانات 2.15 مليون نقطة والعدد الأعظمي لل نقاط في مصلع واحد يتجاوز 5 مليون نقطة.

وبتفيذ التجربة على حاسب الاختبار تم الحصول على النتائج المبنية في الجدول (5):

## الجدول(5) مقارنة سرعة بناء R-Tree باستخدام الطريقة التقليدية والطريقة المحسنة باستخدام WFS

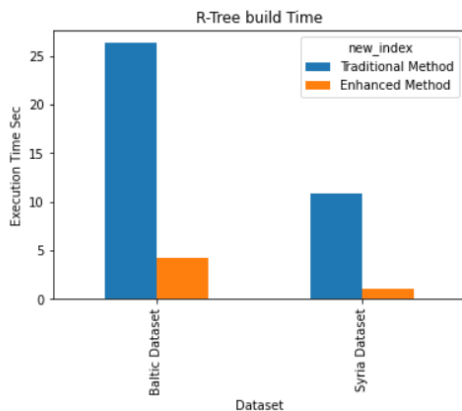
<p>زمن بناء RTree (بعض المحافظات السورية)</p>	<p>الخوارزمية المستخدمة</p>
<p>10.8 ثانية</p>	<p>مع بناء MBR بطريقة حسابية</p>
<p>1.04 ثانية</p>	<p>MBR مع بناء RTree بالطريقة المحسنة باستخدام Geoserver WFS خدمة</p>

نلاحظ أننا حصلنا على نفس الفهرس RTree المبين بيانياً وجغرافياً في الشكل (24) في الحالتين:



الشكل(24) تمثيل بياني وجغرافي للفهرس R-Tree الذي تم الحصول عليه في الحالتين

يمكن تمثيل النتائج التي حصلنا عليها في الاختبارات لمجموعتي البيانات بيانياً بالشكل (25):



الشكل(25) مقارنة سرعة بناء R-Tree باستخدام الطريقة التقليدية  
والطريقة المحسنة باستخدام WFS

طريقة جديدة لتسريع بناء الفهرس المكاني R-Tree .....  
كما يبين الشكل (22) الشيفرة البرمجية لمرحلة اتخاذ القرار  
للحوار زمية:

```

1 t1.time()
2 for i in range(len(kw)):
3     print(len(poly_x[i]))
4     print('object-' + str(i) + ' out of ' + str(len(poly_coords)))
5     if len(poly_x[i]) > int(decision_point):
6         method2_2(poly_x[i], poly_y[i], kw[i])
7     else:
8         print('using traditional method')
9         method1_1(poly_x[i], poly_y[i])
10
11 t2=t.time()
12 print('execution time')
13 print(t2-t1)
14

```

## الشكل(22) - مرحلة اتخاذ القرار

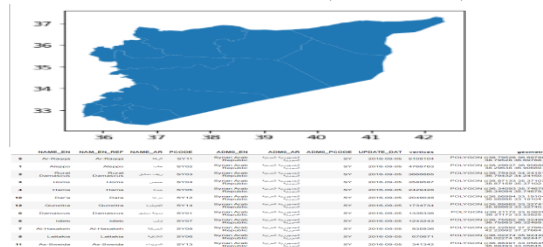
وبتنفيذ التجربة على حاسب الاختبار تم الحصول على  
النتائج المبينة في الجدول (4):

الجدول (4) زمن بناء R-Tree باستخدام الطريقة التقليدية والطريقة  
الجديدة المحسنة

RTree	الخوارزمية المستخدمة
زمن بناء (دول الباطيق)	
26.23 ثانية	مع بناء RTree بطريقة MBR حسابية
4.19 ثانية	مع بناء RTree بـ MBR بالطريقة Geoserver المحسنة باستخدام خدمة WFS
7.86 ثانية	مع بناء RTree بـ MBR بالطريقة Geonames المحسنة باستخدام خدمة

مع الأخذ بعين الاعتبار أن هذا الزمن لا يشمل زمن قراءة مجموعة البيانات والذي يتم بشكل متماثل في الطريقتين التقليدية والمحسنة.

نقوم بتكرار الاختبارات من أجل مجموعة بيانات مبنية في الشكل (23) تمثل الحدود الإدارية لبعض المحافظات السورية بشكل هندسي مضلع عالي الدقة المكانية.



## الشكل(23) مجموعة بيانات بعض المحافظات السورية وجدول الوصفات المرافق

زين، الدوه جي و الخياط

المتوسط وهذا يزيد من زمن التنفيذ مقارنة بالنتائج الحالية والتي تم فيها اهمال زمن حساب العتبة نظراً لأنه شبه معهوم في التجارب التي قمنا بها مقارنة بالزمن الكلي لتنفيذ الخوارزمية.

#### 4. الخلاصة:

تم في هذا العمل تعريف وتصميم وتنفيذ واختبار خوارزمية جديدة لبناء مستطيل الحدود الأصغرى المستخدم في بناء الفهرس المكانى من النوع R-Tree. هذه الخوارزمية موجهة لمعالجة ضعف الأداء الذى ينجم عن حساب مستطيل الحدود الأصغرى للمضلعات المكونة من أعداد كبيرة من النقاط. تستفيد هذه الخوارزمية من الواصفة النصية للمكان وخدمة ويب المعجم الجغرافي، وتقوم بالمقارنة بين اختيار الطريقة الحسابية في بناء مستطيل الحدود الأصغرى او استخدام خدمة الويب اعتماداً على عتبة قرار مرنة يتم حسابها بناء على ظروف بيئه التشغيل.

ثبت النتائج التي تم الحصول عليها قدرة هذه الخوارزمية على تحقيق تحسين كبير في سرعة بناء الفهرس R-Tree حيث ترتبط درجة التحسين بعدد النقاط المكونة لمضلعات مجموعة البيانات.

يمكن استخدام هذه الخوارزمية في نظم معالجة البيانات المكانية الكبيرة وتطويرها باتجاه معالجة أي أخطاء متعلقة بالدلالة المكانية للواصفات النصية المرتبطة بالكائنات المكانية.

**التمويل:** هذا البحث ممول من جامعة دمشق وفق رقم التمويل(501100020595).

طريقة جديدة لتسريع بناء الفهرس المكانى R-Tree .....  
تبين النتائج التحسن الكبير من حيث انخفاض زمن بناء الفهرس R-Tree عند استخدام الطريقة المحسنة.

#### 4.4 مناقشة النتائج:

تبين نتائج الاختبارات التحسين الكبير الذى تم الحصول عليه في زمن بناء الفهرس R-Tree كنتيجة مباشرة لتخفيض زمن بناء مستطيل الحدود الأصغرى. تميز الخوارزمية بأنها تستخدم عتبة قرار مرنة تختلف باختلاف بيئه الاختبار وبالتالي تختار الطريقة المناسبة لحساب المستطيل بناء على معيار كمبي منطقي، يجعلها تحقق في أسوأ الأحوال نفس نتائج الطريقة التقليدية. ترتبط درجة التسريع التي تحققها الخوارزمية الجديدة بمواصفات مجموعة البيانات وعدد الكائنات التي تستدعي خدمة الويب من أجل بناء المستطيل، وفي بعض الحالات التي تحتوي فيها مجموعة البيانات على كائن واحد شديد التعقيد يتحقق التسريع كنتيجة لاستخدام طريقة خدمة الويب في حساب المستطيل لهذا الكائن فقط مع استخدام الطريقة التقليدية لباقي الكائنات، لذلك تم تضمين التحقيق البرمجي لخوارزمية عداداً خاصاً لحساب عدد مرات استخدام خدمة الويب وعدد مرات استخدام الطريقة التقليدية. قد تسبب هذه الخوارزمية بعض الأخطاء عندما يكون هناك التباس في الربط بين الواصفة المكانية النصية والإحداثيات الجغرافية (حالات تشابه الأسماء أو اختلاف التوصيف الجغرافي) فمثلاً مستطيل الحدود الأصغرى لدولة الدنمارك يختلف في حالة اعتبار جزيرة غرينلاند جزءاً من الدنمارك عن حالة عدم اعتبارها كذلك. وبالتالي من الممكن في بعض الحالات ان تعطي خدمة الويب نتائج مختلفة للاستعلام عن نفس الاسم مما يتطلب تطوير آليات لتقادي وقوع هذه الأخطاء عند تطوير الخوارزمية مستقبلاً، حيث تتجه تلك الآليات باتجاه ما يعرف بالفهم الدلالي للمكان Spatial Semantics. كما تتأثر مرحلة حساب عتبة القرار بظروف بيئه التشغيل مما قد يؤدي إلى انحرافات في حساب العتبة مما يتطلب تكرار عملية الحساب عدة مرات واستخدام

## References:

- [1] S Li, S Dragicevic, F Anton, M Sester, S Winter, J Coltekin, C Pettit, J Haworth, A Stein, T Cheng, Geospatial Big Data Handling Theory and Methods: A Review and Research Challenges, ISPRS Journal of Photogrammetry and Remote Sensing, 115, 119-133. DOI: 10.1016/j.isprsjprs.2015.10.012.
- [2] A Aji, F Wang, H Vo, R Lee, Q Liu, X Zhang, JSaltz, Hadoop GIS: A High Performance Spatial Data Warehousing System over MapReduce. Proceedings of the VLDB Endowment, Vol. 6, No. 11 2013 21508097/13/09.
- [3] A Eldawy M F. Mokbel, Spatial Hadoop: A MapReduce Framework for Spatial Data, IEEE 2015 IEEE 31st International Conference on Data Engineering Seoul Korea(South) DOI:10.1109/ICDE.2015.7113382.
- [4] J Yu, J Wu, M Sarwat, GeoSpark: A Cluster Computing Framework for Processing Spatial Data, 2015 Proceedings of the 23rd SIGSPATIAL International Conference on Advances in Geographic Information Systems DOI:10.1145/2820783.2820860.
- [5] S Puri, Spatial MPI: Message Passing Interface (MPI) for GIS Applications, The Geographic Information Science & Technology Body of Knowledge (2nd Quarter 2019 Edition), John P. Wilson (Ed.). DOI: 10.22224/gistbok/2019.2.6.
- [6] A Guttman, RTREEs. A dynamic index structure for spatial searching, University of California Berkeley ACM O-89791-128-8/84/006/0047/84/006/0047
- [7] A.N. Yzelman, R-Trees An efficient structure for spatial data management, Master's degree 'Scientific Computing' at the University of Utrecht 2007.
- [8] Q Zhou , E Zhong ,Y Huang ,Research on parallel bulk-loading R-Trees based on partition technology of database, The International Archives of the Photogrammetry, Remote Sensing and Spatial Information Sciences. Vol. XXXVII. Part B4. Beijing 2008.
- [9] A Eldawy L Alarabi M F. Mokbel, Spatial Partitioning Techniques in SpatialHadoop, .Proceedings of the VLDB Endowment, Vol. 8, No. 12 2015 21508097/15/08.
- [10] A Al-Mamun, R Haider, J Wang, W Aref, The “AI+R”-tree: An Instance-optimized R-tree, arXiv:2207.00550 [cs. DB] 2022.
- [11] [github.com/aseldawy/spatialhadoop2](https://github.com/aseldawy/spatialhadoop2) last accessed 03/2023.
- [12] NRC Natural Resources Canada, Gazetteer Service.  
<https://www.nrcan.gc.ca/earth-sciences/geomatics/canadas-spatial-data-infrastructure/standards-policies/8916> last accessed 03/2023.
- [13] M S Halilali, E Gouardères, M Gaio, F Devin, Geospatial Web Services Discovery through Semantic Annotation of WPS. ISPRS Int. J. Geo-Inf. 2022, 11, 254. <https://doi.org/10.3390/ijgi11040254> 2022
- [14] M Kokla , E Gilbert, A Review of Geospatial Semantic Information Modeling and Elicitation Approach, ISPRS Int. J. Geo-Inf. 2020, 9, 146; doi:10.3390/ijgi9030146 2020.
- [15] Open Geospatial Consortium, Gazetteer Service -Application Profile of the Web Feature Service Best Practice OGC® document: OGC 11-122r1, Publication Date: 2012-02-17.
- [16] [www.geonames.org](http://www.geonames.org), last accessed 03/2023.
- [17] S K Singh, D Rafiei, Strategies for Geographical Scoping and Improving a Gazetteer , WWW2018: The 2018Web Conference, April 23–27, 2018, Lyon, France. ACM, New York, NY, USA, Article 4, 10 pages.<https://doi.org/10.1145/317 8876.3186078>.
- [18] S K Singh, Strategies for gazetteer improvement and enrichment, Master's Thesis Department of Computing Science University of Alberta , 2017.

- [19] T Kloster, Spatio-textual search on Spark, Master of Science in Informatics IDI Department of Computer Science Norwegian University of Science and Technology 2017.
- [20] M Christoforaki , J He, C Dimopoulos, A Markowetz, T Suel ,Text vs. Space: Efficient Geo-Search Query Processing, CIKM'11, October 24–28, 2011, Glasgow, Scotland, UK. Copyright 2011 ACM 978-1-4503-0717-8/11/10.
- [21] L Chen, G Cong, C S. Jensen, D Wu ,Spatial Keyword Query Processing: An Experimental Evaluation, Proceedings of the VLDB Endowment, Vol. 6, No. 3 Copyright 2013 VLDB Endowment 2150 8097/13/01.
- [22] Z LI, Ken C. K. LEE, B ZHENG, W LEE, D L LEE, X WANG ,IR-Tree: An Efficient Index for Geographic Document Search, IEEE Transactions on Knowledge and Data Engineering. 23, (4), 585-599. Research Collection School Of Information Systems. Institutional Knowledge at Singapore Management University 2011
- [23] K Zhao, B Jin, H Fan , W Song , S Zhou Y Jiang, High-Performance Overlay Analysis of Massive Geographic Polygons That Consider Shape Complexity in a Cloud Environment,ISPRS Int. J. Geo-Inf. 2019, 8, 290; doi:10.3390/ijgi8070290.